

Climate variability over the last millennium and link to volcanic forcing: First results with IPSL-CM4v2

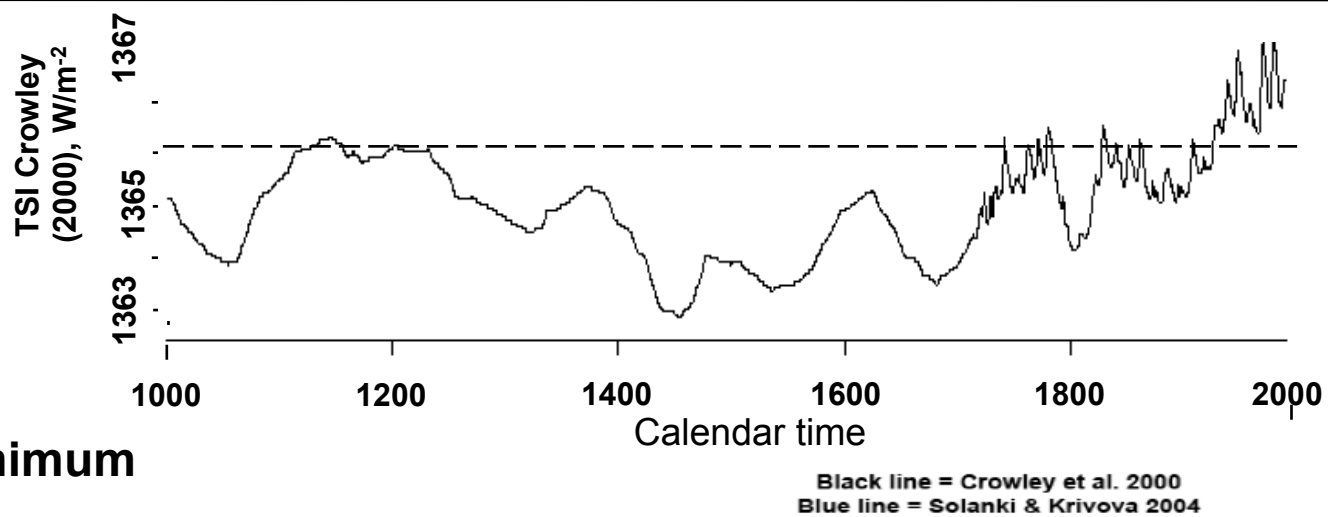
M Khodri, J Servonnat, F Fluteau, J Mignot, P
Yiou, MA Sicre

Les Forçages et les Simulations

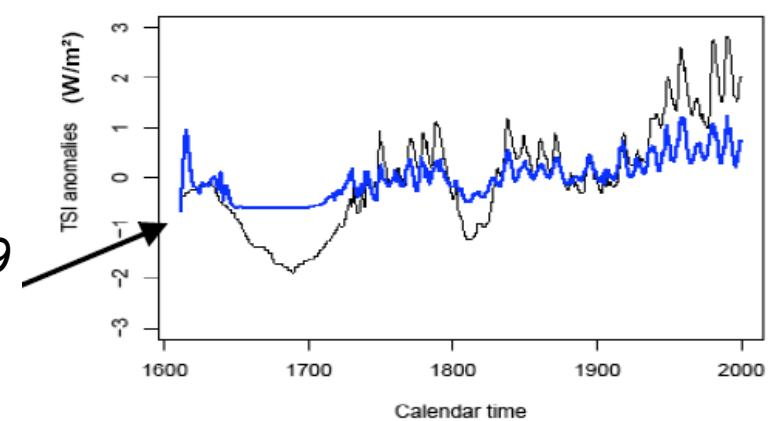
IPSL-CM4v2

SOLAIRE
+ CO₂

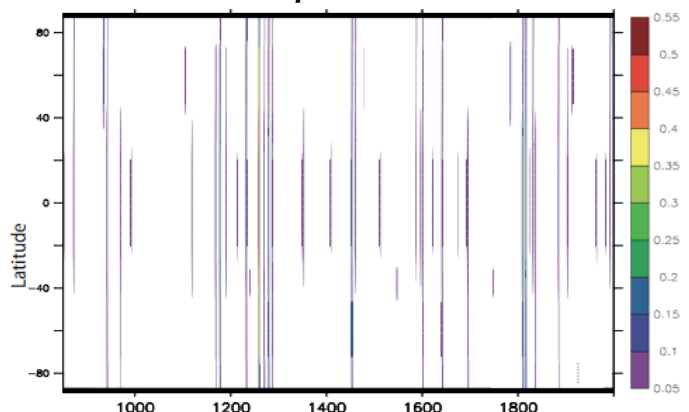
-0.25% TSI at
the Maunder minimum



Krivova , pers. com. 2009



Aerosol Optical Thickness



SOLAIRE +
CO₂+
VOLCANISME

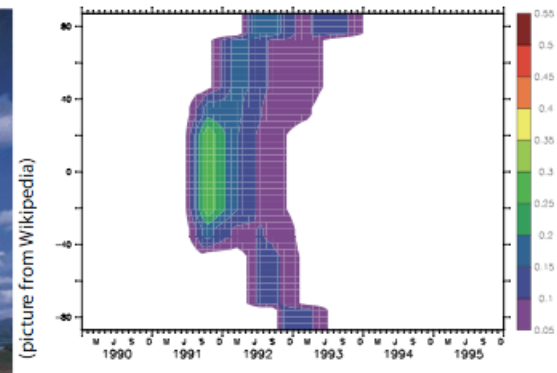
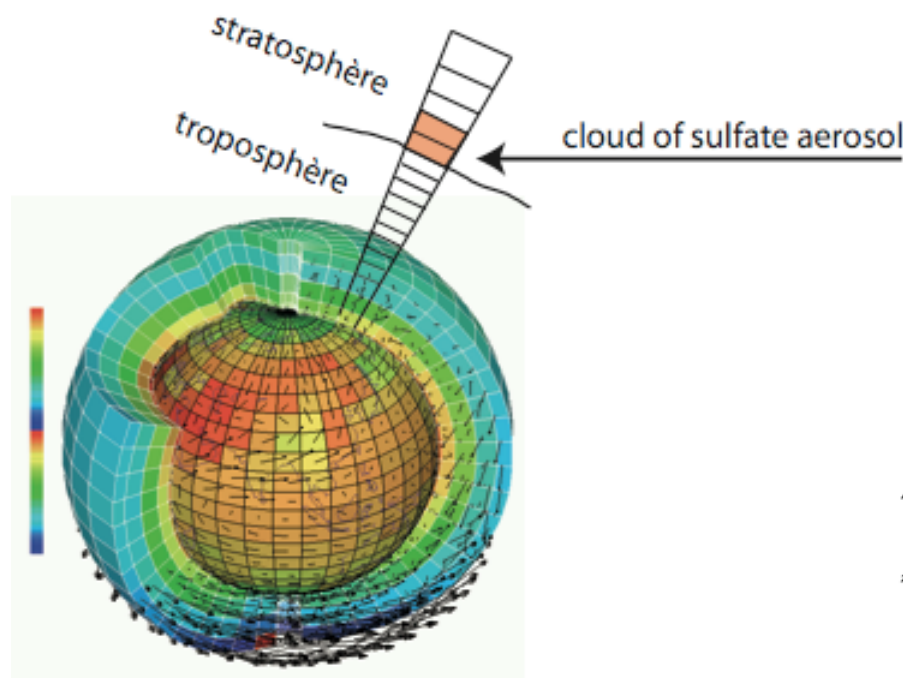
More recent estimates:
-0.1 % TSI at
the Maunder minimum

← Ammann et al , pers. com. 2008

Projets Millénaire

- * Projet ANR-ESCARSEL (2008-2010, PI J. Guiot, CEREGE): Evolution Séculaire du Climat dans les régions circum-Atlantiques et Réponse de Systèmes Eco-Lacustres (M Khodri, J Servonnat, P Yiou)
- * Projet FP7-THOR (2008-2012, PI D. Quadfasel): Circulation Thermohaline, Atlantique Nord, échange air-mer (J Mignot, C Frankignoul, G Gastineau, C Marini)
- * Projet ANR-ANVOL (à soumettre, PI M. Khodri) : Comparaison modèle-données, modulation basse fréquence des modes de variabilité et des téléconnexions, lien solaire-ozone stratosphérique (M Khodri, J Mignot, D Swingedouw, M Marchand)

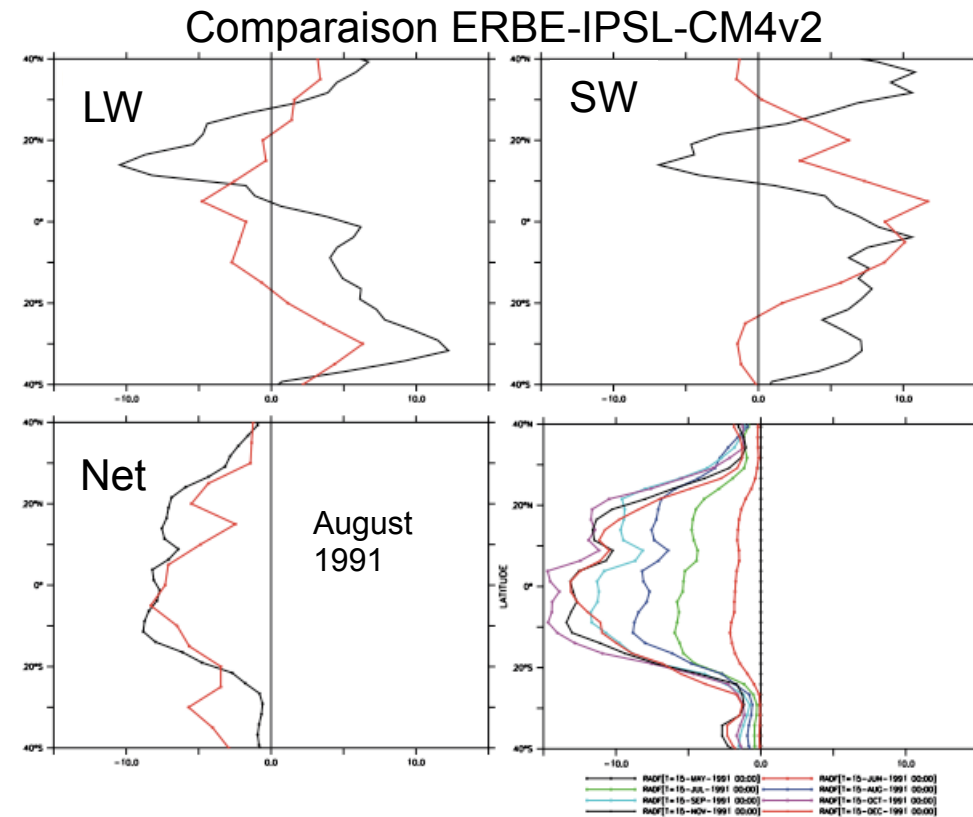
Forçage Volcanique: Le Mont Pinatubo



- Implémentation de l'impact radiatif des aérosols volcanique dans LMDZ
- Code de Mie: Calcul de l'albédo de simple diffusion (cg) et le facteur d'asymétrie (piz) pour les aérosols aérosols stratosphériques sulfatés en phase aqueuse.

Forme binaire H₂SO₄/H₂O: 75%/25%)
El Chichon + Pinatubo (SO₄ droplet, R_{eff}=0.55)

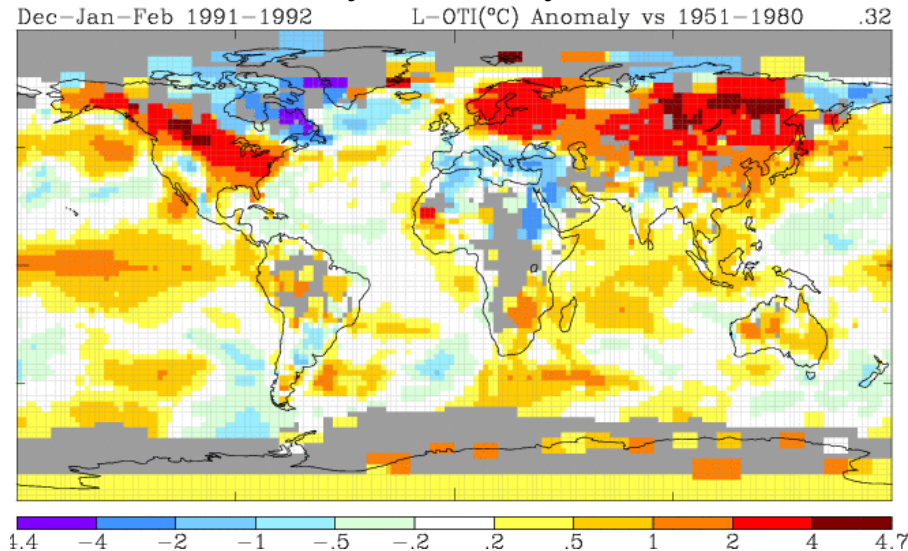
Yves Balkanski



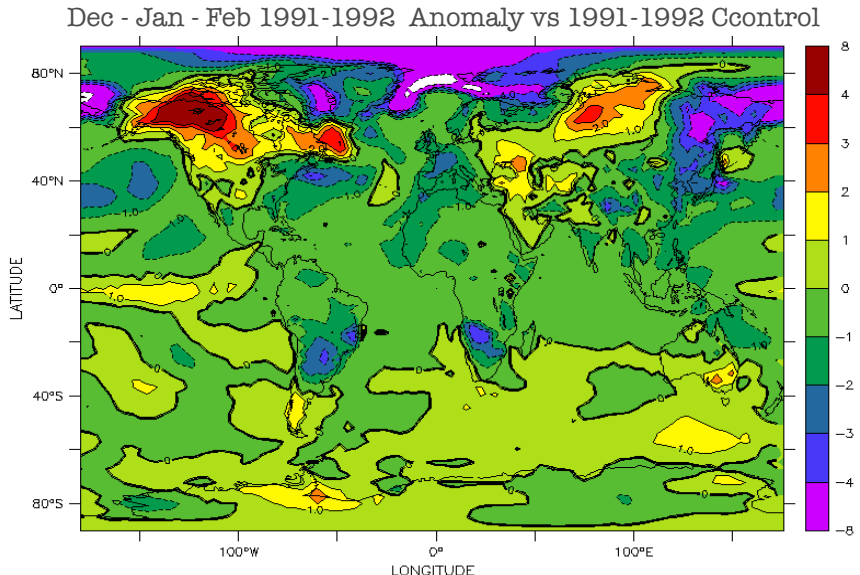
Le Mont Pinatubo

Premier hiver post éruption

GISS Analysis/Hadley HadISST1

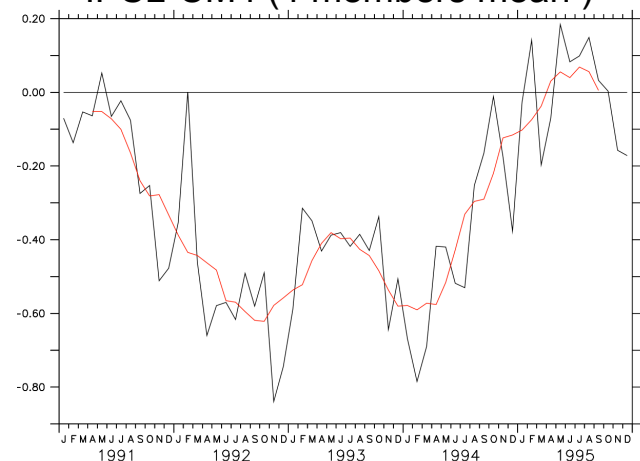


IPSL-CM4 (4 members mean)

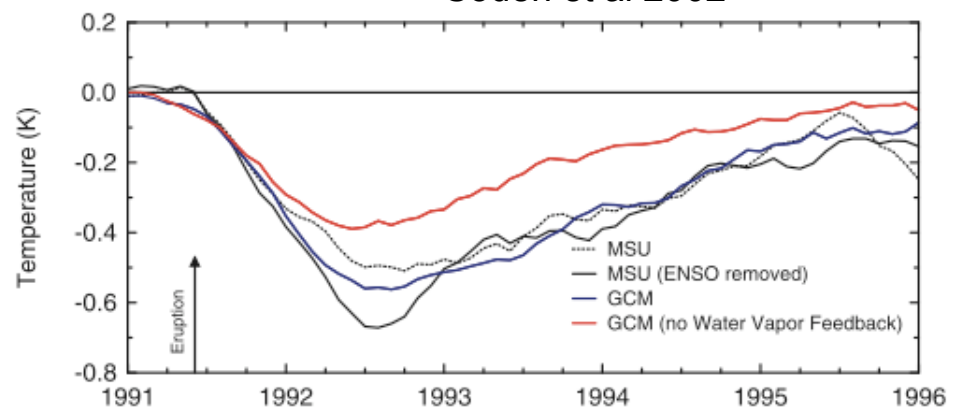


Evolution des températures globales

IPSL-CM4 (4 members mean)

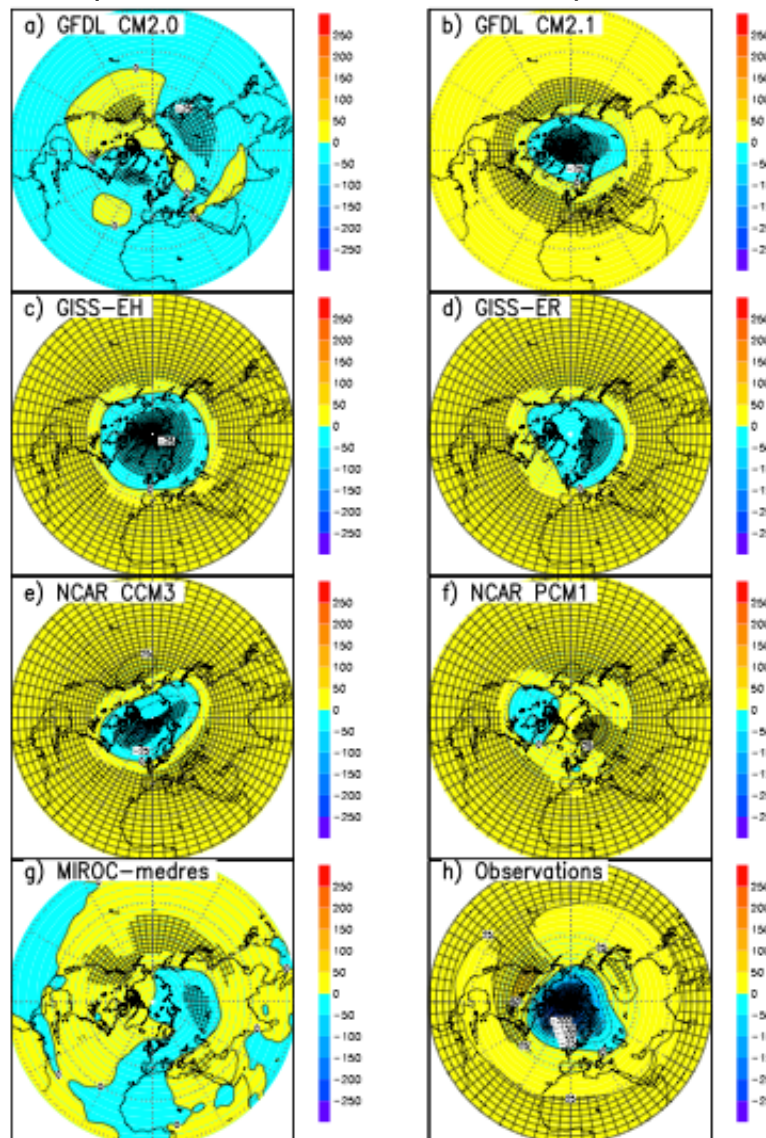


Soden et al 2002



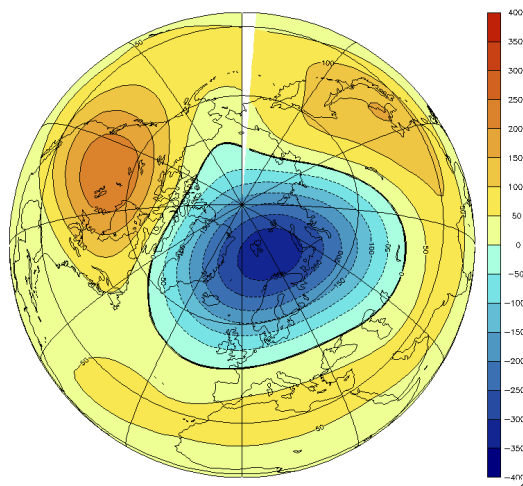
Le Mont Pinatubo

IPCC-AR4 Models
(Stenchikov et al, 2006)



Impact sur la dynamique

IPSL-CM4v2
Geopotential Height 50mb

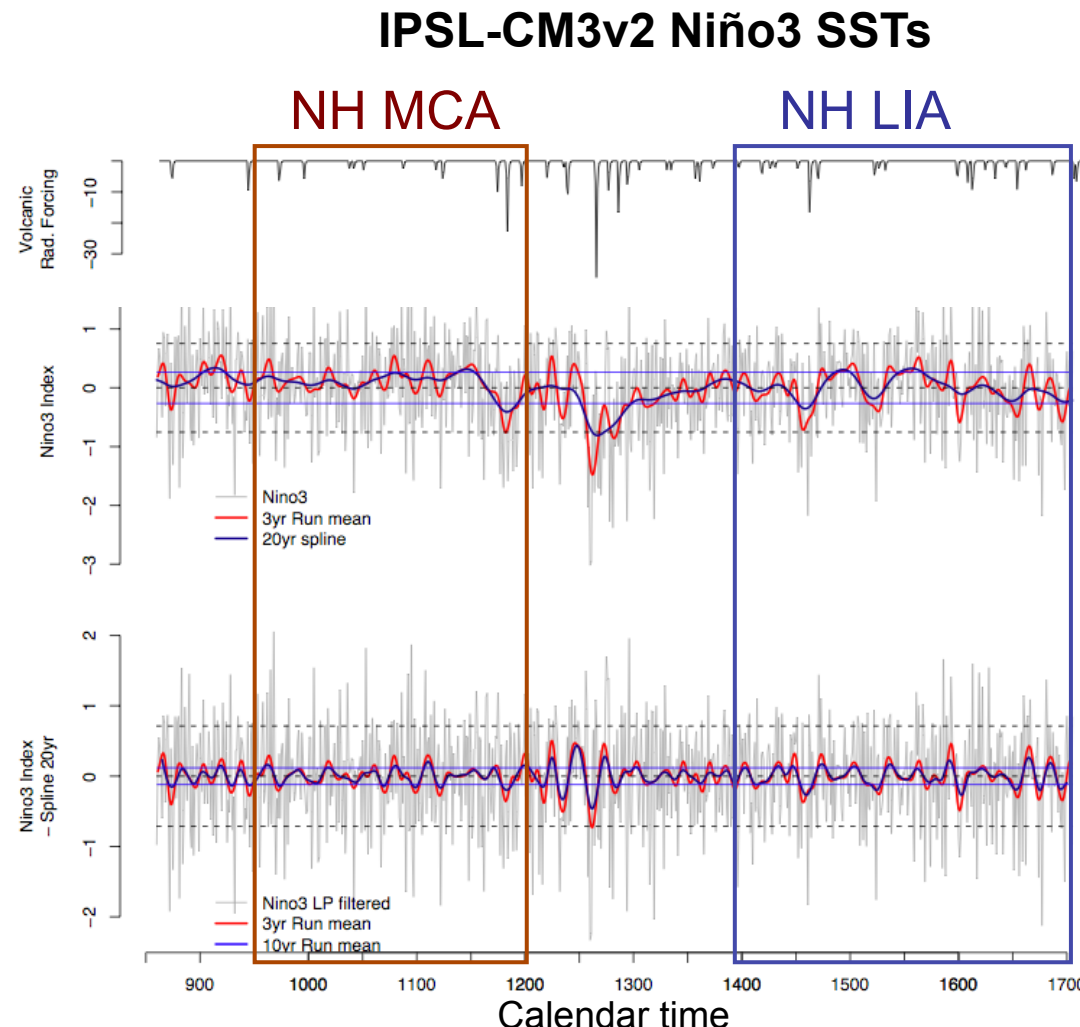


Réchauffement strato/ refroidissement tropo

- augmentation du géopotentiel dans la strato/ diminution dans la tropo
- augmentation du gradient température et géopotentiel Equateur-Pôle
- renforcement du jet aux moyennes latitudes
- assèchement de la troposphère (tropiques)

What is the influence of volcanic forcing over the climate inter annual to low frequency variability?

Cumulative effect of tropical eruptions on Tropical Pacific response:



PROXY DATA:

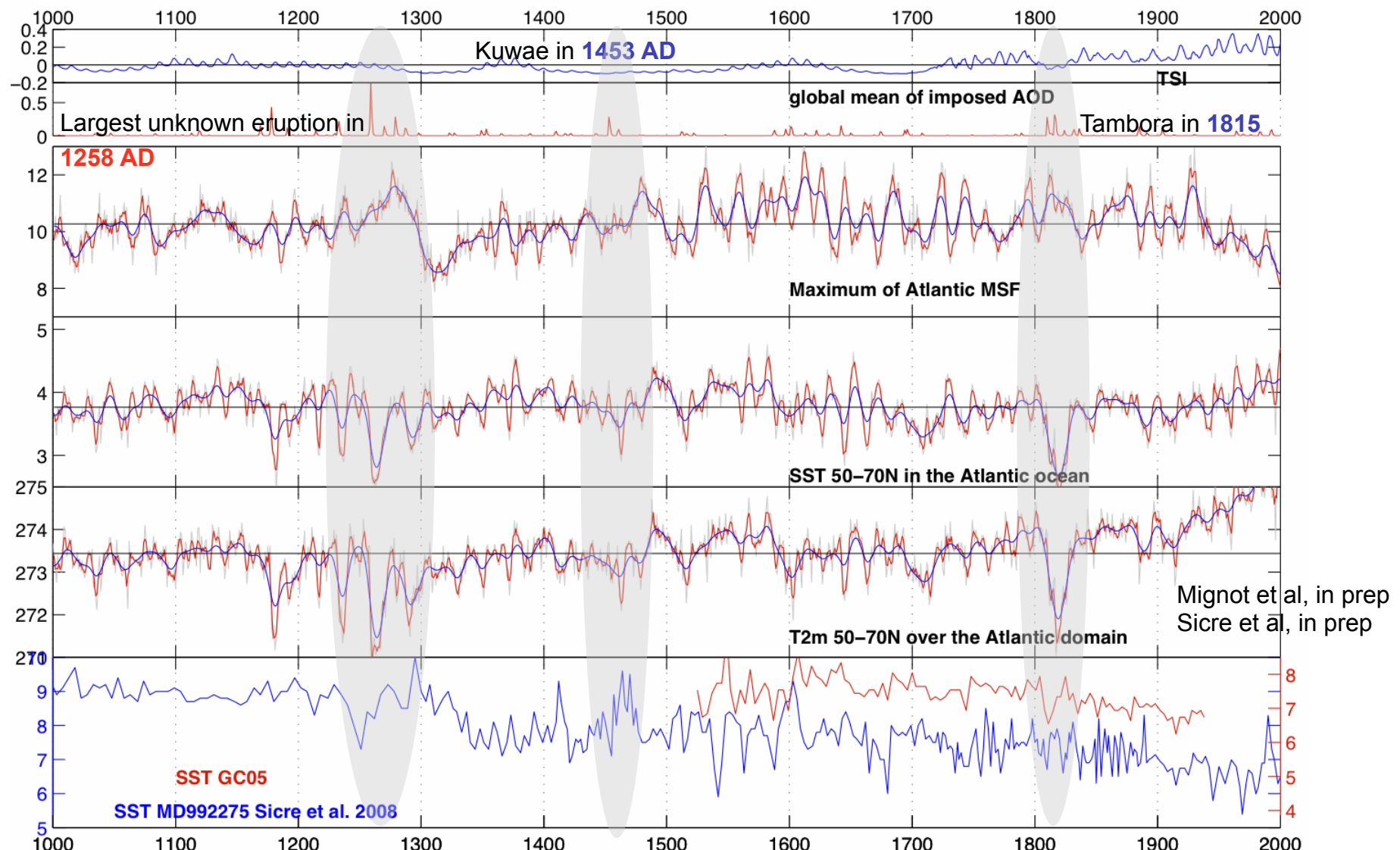
Transition from
Medieval Climate Anomaly
(MCA, 950-1200AD)
↓
Little Ice Age
(LIA, 1400-1700)

Persistent cooling in the Tropical Pacific

Higher
Low Frequency (decadal) Variability

What is the influence of volcanic forcing over the climate inter annual to low frequency variability?

Cumulative effect of tropical eruptions on North Atlantic :



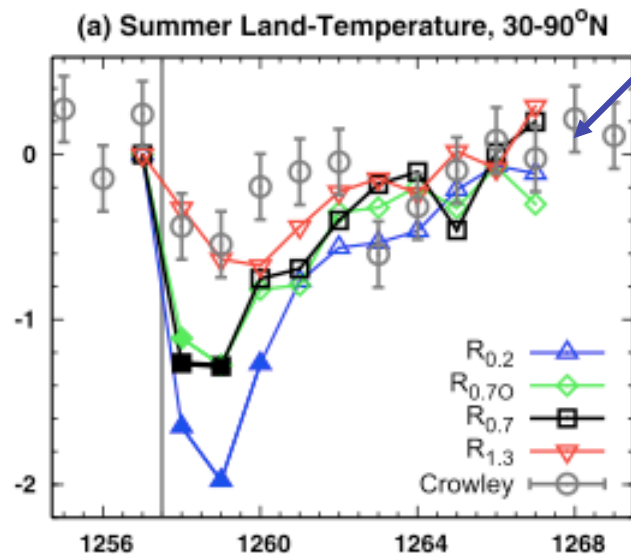
Simulation pour l'IPCC AR5

- Vers une stratosphère mieux représentée (à l'IPSL 39 niveaux)
 - Vers une paramétrisation des méga-éruptions améliorée
 - Millénaire peut servir de base pour le 20eme siècle !!
-
- Recommandations PMIP3 pour le dernier millénaire:
 - (1) TSI: Plusieurs choix possible avec et sans background (0.25 et 0.1%): à l'IPSL 0.1% (Krivova et al)
 - (2) Test sur les incertitudes liées au forçage solaire TSI/SSI, plusieurs choix possibles dont SSI et Ozone d'après Shindell et al. (2006)
À l'IPSL/LATMOS: TSI/SSI, Ozone-LMDZ-Reprobus (Thuillier et al, Marchand et al)

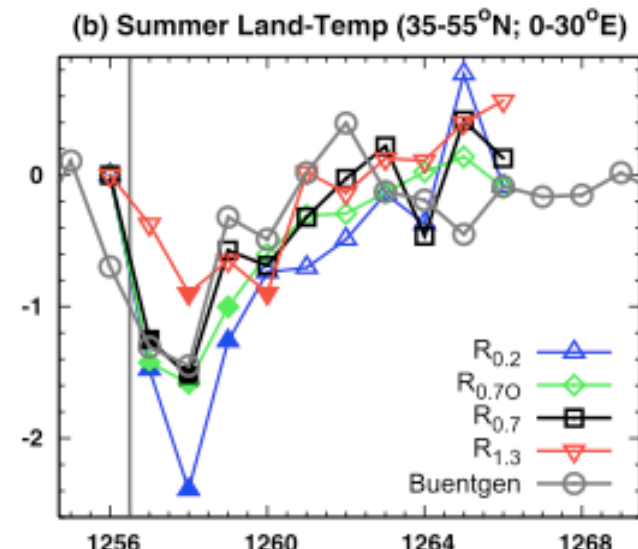
Large volcanic eruptions

Eruption of A.D.1258

Timmreck et al, 2009



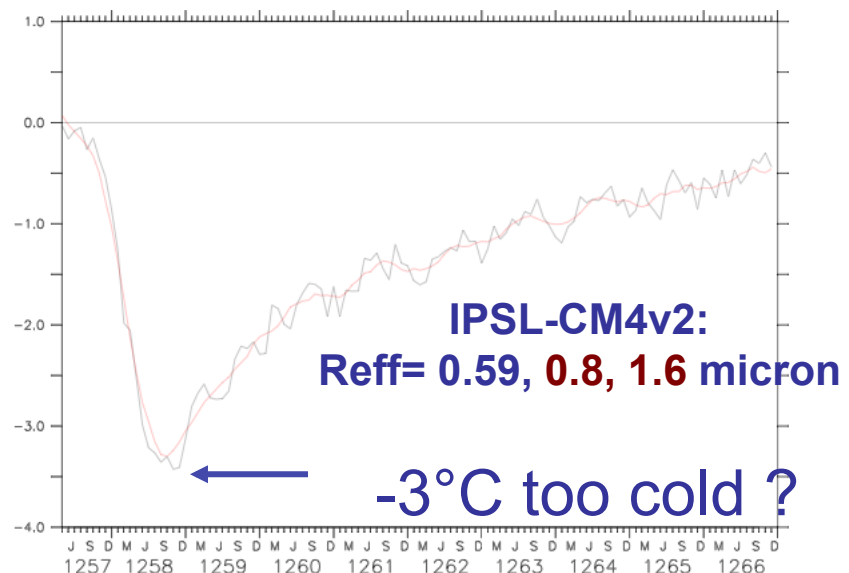
Model-Data comparison
gives best match for
Reff= 0.7-1.3 micron



Current Tests:
Reff= 0.1 - 0.4 micron
+
 $\tau_i = \tau_{550} * w_i$

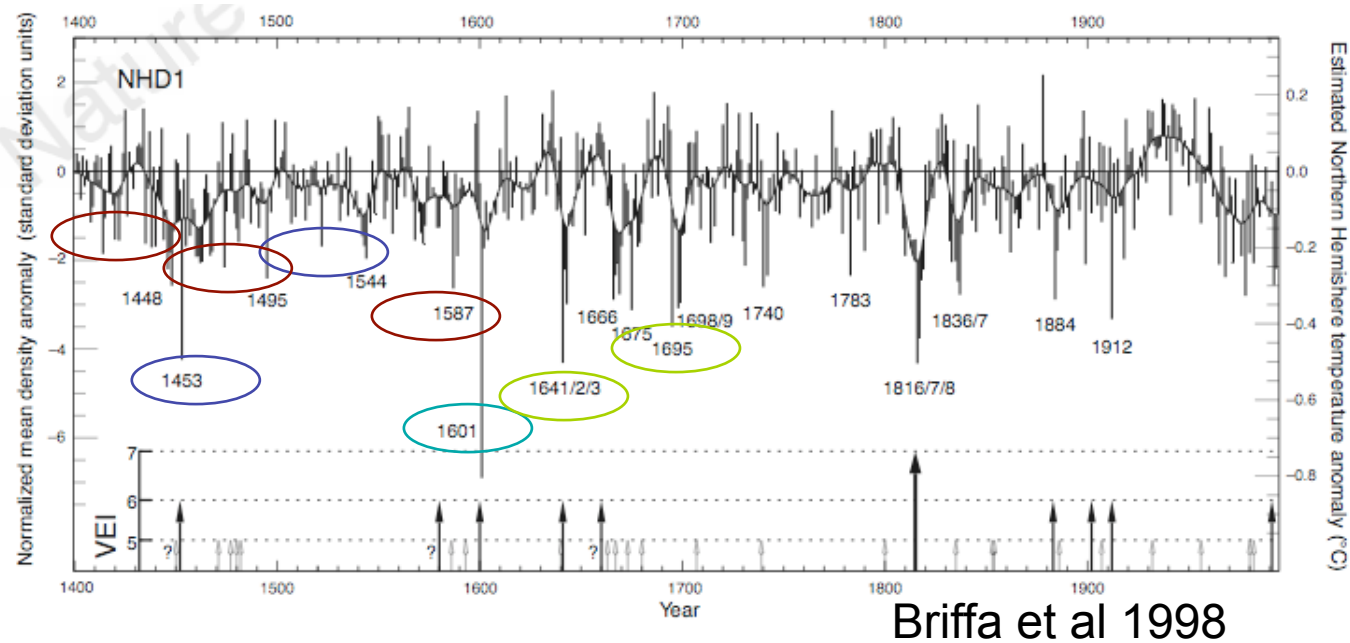
weighting introduced
using background aerosols
(Morcrette, pers com)

Northern Hemisphere Temperature



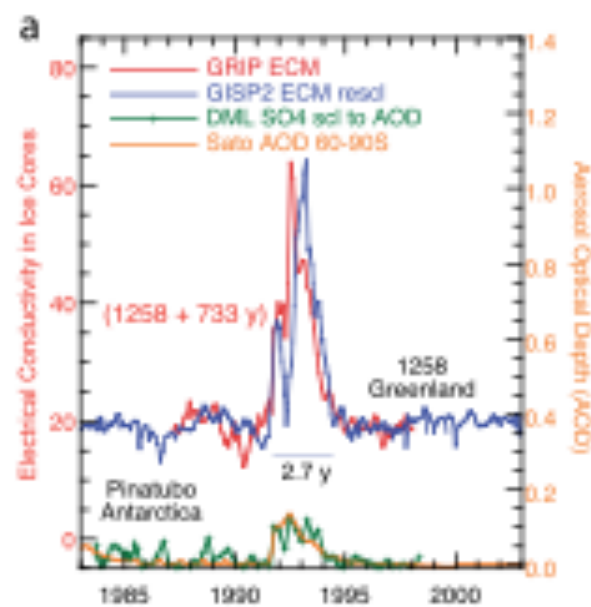
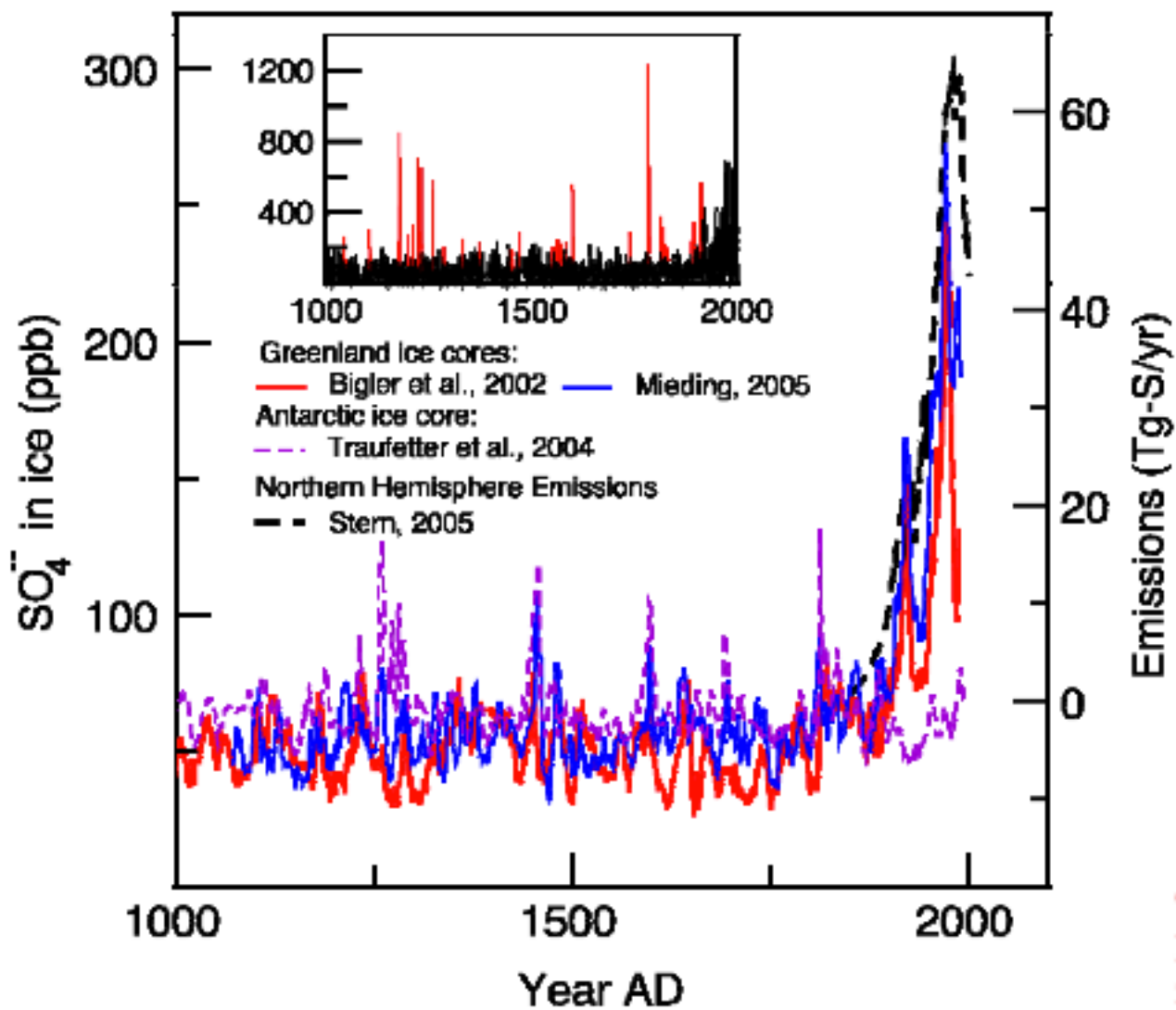
What is the influence of volcanic forcing over the tropical inter annual to low frequency variability?

Northern Hemisphere Temperatures



Briffa et al 1998

Date	Briffa et al	SOLVOL
1453 (January)	-0.5°C	-1.2°C
1641 & 1695 (January)	-0.4 / -0.6°C	-0.62°C
1511 & 1673 (April)	-0.2 / -0.4°C	-0.4°C
1601 (April)	-0.8°C	-0.8°C
1408&1459&1587 (July)	-0.15°C to -0.4°C	-0.3°C

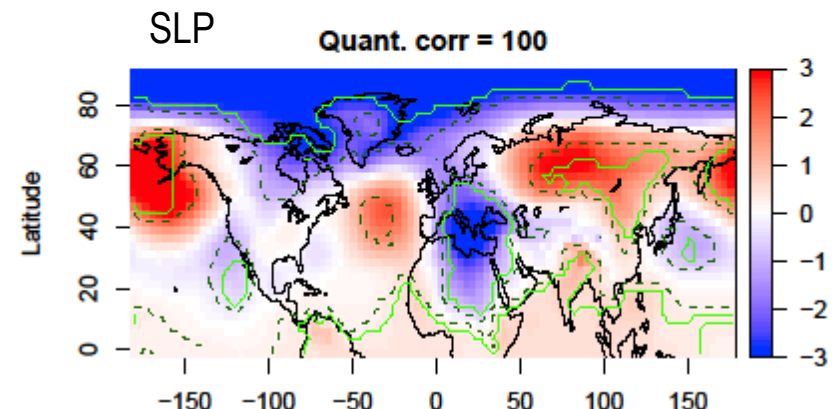
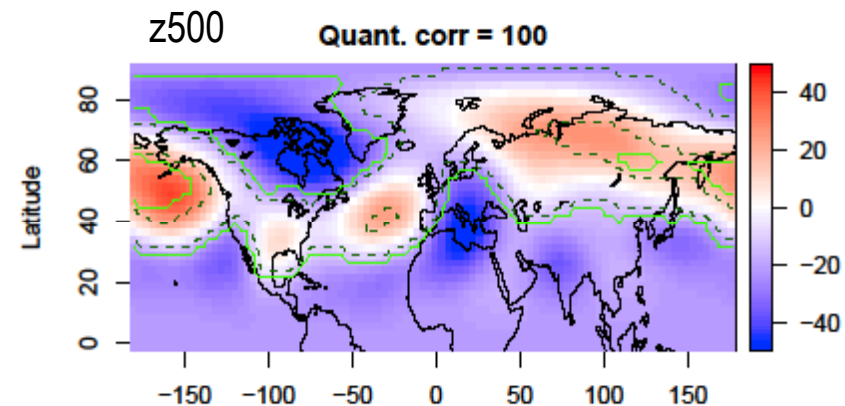
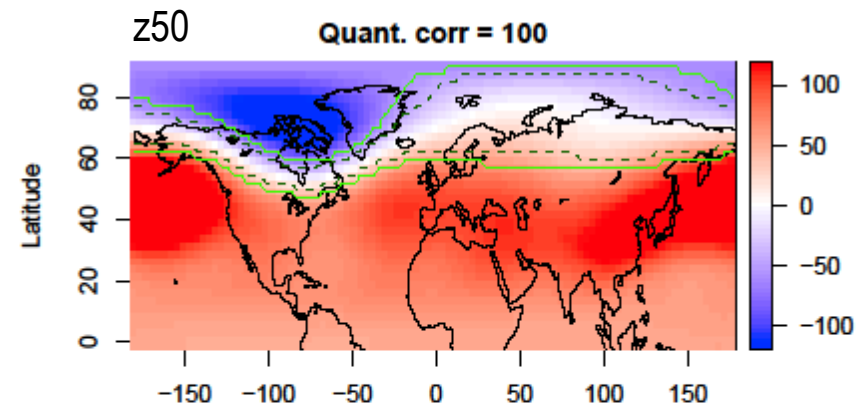
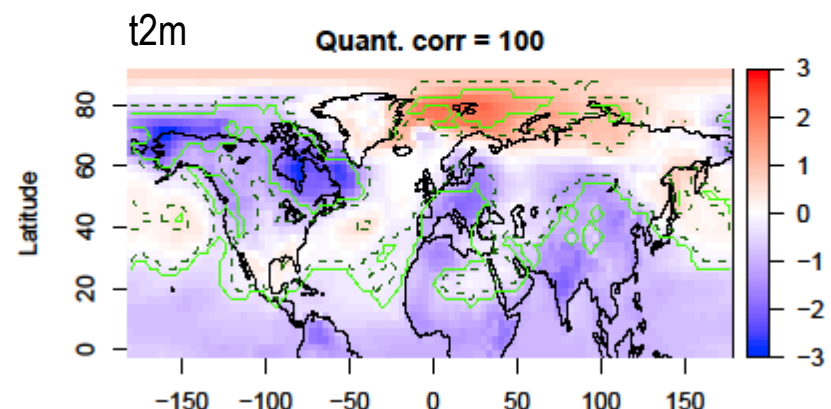
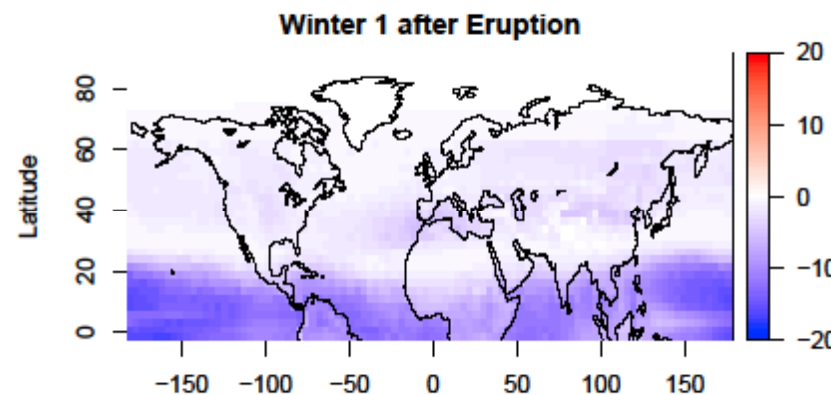


Hiver 1 post-éruption

- Température = winter warming
- Z50 = augmentation gradient Equateur-Pôle
- Z500 = pattern d'onde, diminution du géopotentiel
- SLP = pattern d'onde, amplification vortex polaire

Significativité : Bootstrap sur CTRLA + corrélation entre les cartes

Tirets : 90% ; Lignes pleines : 99%

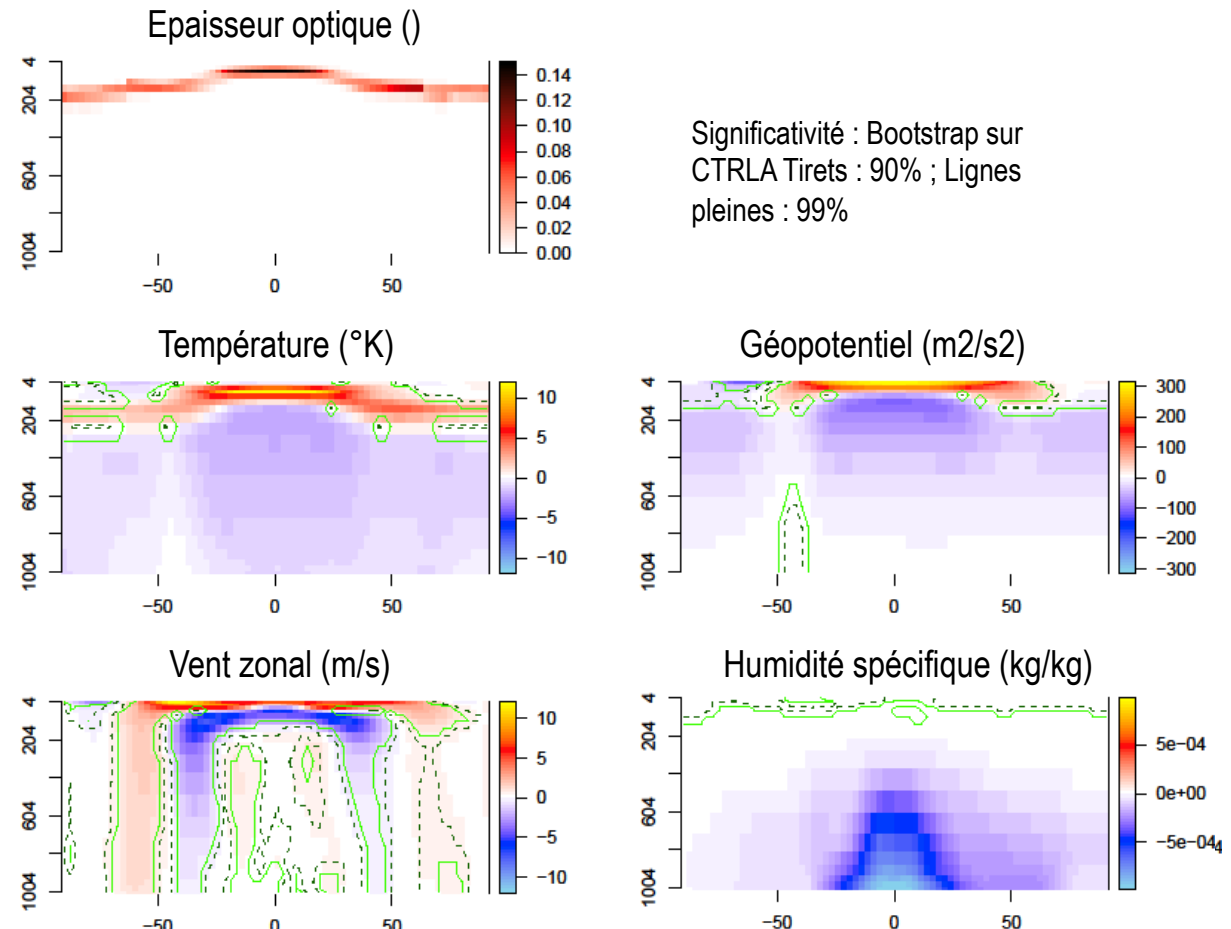


Impact des éruptions sur l'atmosphère

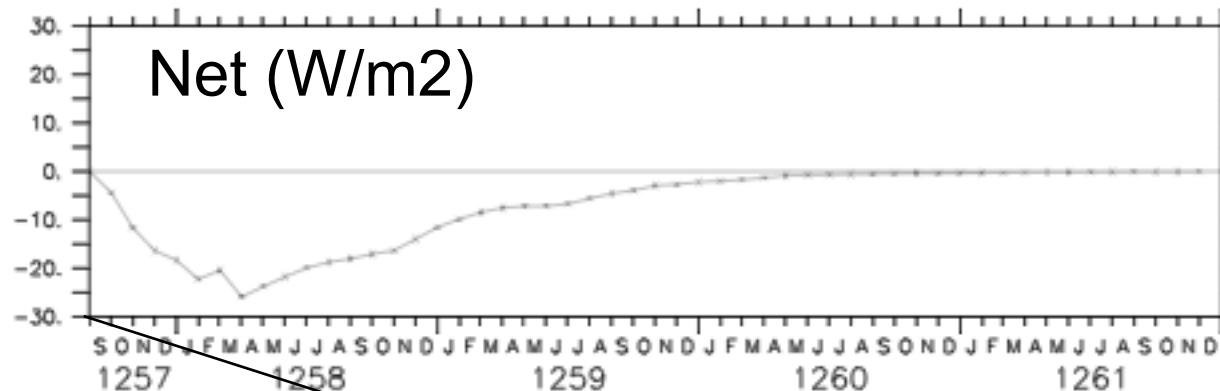
IPSL-CM4v2

Année 1 post-éruption

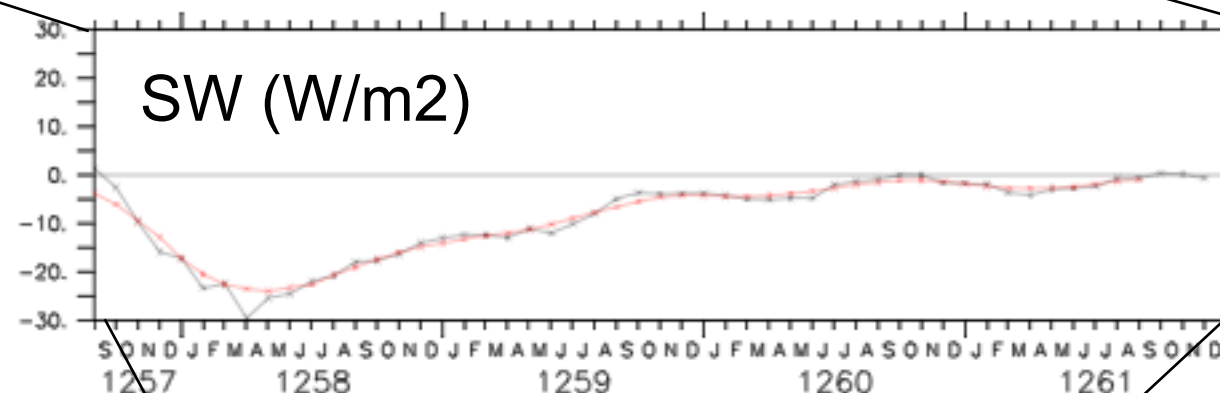
- Réchauffement strato/
refroidissement tropo
- augmentation du géopotentiel
dans la strato/ diminution dans
la tropo
- augmentation du gradient
température et géopotentiel
Equateur-Pôle
- renforcement du jet moyennes
latitudes
- assèchement de la
troposphère (tropiques)



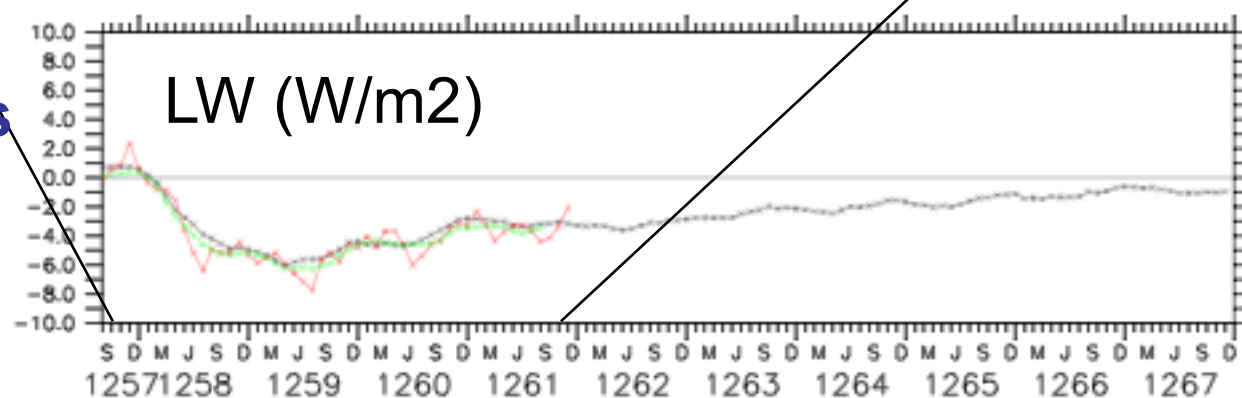
What is the influence of volcanic forcing over the climate inter annual to low frequency variability?



Radiative heat
Budget for the
A.D. 1258 eruption



Water vapour
Feedback transmits
the individual
volcanic forcing to
longer timescale



What is the influence of volcanic forcing over the climate inter annual to low frequency variability?

“Sneak Peak” into the tropical hydrological cycle

